

矿物差热分析

辽宁省地质局中心实验室

地 质 出 版 社

矿物差热分析

辽宁省地质局中心实验室 编

地 质 出 版 社

矿物差热分析

辽宁省地质局中心实验室 编

*

地质局书刊编辑室编辑

地质出版社出版

地质印刷厂印刷

新华书店北京发行所发行·各地新华书店经售

*

1975年4月北京第一版·1975年4月北京第一次印刷

印数1—5,400册·定价2.10元

统一书号：15038·新74

毛主席语录

人类的历史，就是一个不断地从必然王国向自由王国发展的历史。这个历史永远不会完结。在有阶级存在的社会内，阶级斗争不会完结。在无阶级存在的社会内，新与旧、正确与错误之间的斗争永远不会完结。在生产斗争和科学实验范围内，人类总是不断发展的，自然界也总是不断发展的，永远不会停止在一个水平上。因此，人类总得不断地总结经验，有所发现，有所发明，有所创造，有所前进。停止的论点，悲观的论点，无所作为和骄傲自满的论点，都是错误的。

人们为着要在自然界里得到自由，就要用自然科学来了解自然，克服自然和改造自然，从自然里得到自由。

前　　言

差热分析是矿物鉴定的重要手段之一。随着我国社会主义经济建设的迅速发展，进一步研究和发展这种测试技术愈感重要，但目前国内尚无完整的资料。为便于工作，我们在实践的基础上，积累并搜集了950多个矿物近2600余条热分析曲线，试编了这本《矿物差热分析》，供有关部门和热分析工作者参考。

书中所列各矿物的热分析曲线均按统一规格缩放，且尽可能附有每个矿物的分子式，以利对比判读。

本书所用矿物命名，基本上以《英汉综合地质学词汇》为依据，并附有中、英、俄文索引，以便查阅。

由于水平有限，错误之处，敬希指正。

目 录

| | |
|--------------------------|-----|
| 一、差热分析仪的基本原理..... | 1 |
| 二、差热分析的应用..... | 6 |
| 三、矿物差热分析的定量..... | 8 |
| 四、对差热分析中几个问题的探讨..... | 18 |
| 五、差热分析曲线图谱..... | 23 |
| (一) 卤化物..... | 23 |
| (二) 硝酸盐..... | 26 |
| (三) 砷酸盐..... | 26 |
| (四) 钒酸盐..... | 30 |
| (五) 钨酸盐..... | 30 |
| (六) 铂酸盐..... | 31 |
| (七) 磷酸盐..... | 32 |
| (八) 硼酸盐..... | 41 |
| (九) 碳酸盐..... | 49 |
| (十) 硫化物及硫酸盐..... | 69 |
| 1. 硫化物..... | 69 |
| 2. 硫酸盐..... | 70 |
| (十一) 氧化物及氢氧化物..... | 86 |
| (十二) 硅酸盐..... | 127 |
| 1. 一些钙镁铝硅酸盐及铌钽钛铀硅酸盐..... | 127 |
| 2. 沸石类..... | 145 |
| 3. 角闪石类..... | 150 |
| 4. 角闪石-石棉..... | 152 |
| 5. 滑石和叶蜡石..... | 156 |
| 6. 蛇纹石类..... | 158 |
| 7. 绿泥石类..... | 170 |
| 8. 海泡石类和山软木类..... | 180 |
| 9. 云母类..... | 183 |
| 10. 水云母及其相似矿物..... | 194 |
| 11. 海绿石类..... | 197 |
| 12. 水黑云母类及蛭石类..... | 198 |
| 13. 粘土矿物..... | 201 |

| | |
|----------|-----|
| 六、索引 | 236 |
| (一) 中文索引 | 236 |
| (二) 英文索引 | 265 |
| (三) 俄文索引 | 299 |
| 主要参考文献 | 334 |

一、差热分析仪的基本原理

由物理学得知，在金属中存在着许多的自由电子。这些电子能够在金属离子构成的晶体点阵里自由移动，即作不规则的热运动。在通常的温度下，电子虽然作热运动，却不会从金属中逸出。电子要从金属中逸出，就得消耗一定的功，这个功叫做逸出功。

当两种金属接触的时候，作不规则热运动的电子将从一种金属转移到另一种金属中去。假定有两种金属 A 和 B ，并假定电子从金属 A 中逸出的功大于由金属 B 中逸出的功，即 $V_A > V_B$ 。在这种情况下，电子就会从金属 B 中逸出而转移到金属 A 中。这就使金属 A 中有过多的电子，而金属 B 中的电子缺少，结果使金属 A 带负电，而金属 B 带正电。这样在两金属间就发生电位差 V'_{AB} 。由于电位 V'_{AB} 的存在，就出现一个电场。这电场阻止电子继续迁移到金属 A 中。当电位差 V'_{AB} 等于 V_B 与 V_A 之差，即：

$$V'_{AB} = V_B - V_A$$

时，金属 A 和金属 B 间的电子流达到动力平衡。

由此可知，两种金属间逸出功的不同，而使金属 A 和金属 B 间产生电位差。

在两种金属中，自由电子的数目 n_{OA} 和 n_{OB} 是不相等的，设 $n_{OA} > n_{OB}$ ，由于这种原因，从金属 A 中逸出的电子将多于由金属 B 中逸出的电子。结果金属 A 和 B 间又产生一电位差 V''_{AB} ，由理论上的计算证明：

$$V''_{AB} = \frac{K T}{e} \ln \frac{n_{OA}}{n_{OB}}$$

式中： K 为玻耳兹曼常数。

e 为电子的电荷。

T 为金属的绝对温度。

因此，金属 A 和 B 间的接触电位差 V_{AB} 等于 V'_{AB} 与 V''_{AB} 的代数和：

$$V_{AB} = V'_{AB} + V''_{AB}$$

$$V'_{AB} = V_B - V_A.$$

因为

所以

$$V_{AB} = V_B - V_A + \frac{KT}{e} \ln \frac{n_{0A}}{n_{0B}}.$$

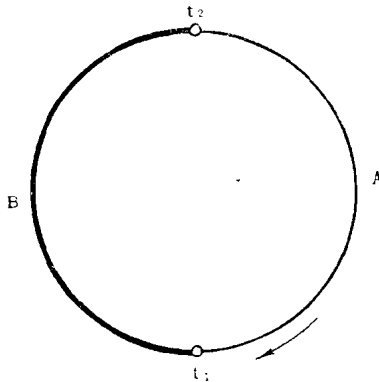


图 1

综上所述，由于不同金属的逸出功的不同，以及不同金属单体内的自由电子数目不同，而产生了接触电位差。

当将两种不同的金属 A 和 B 焊接在一起，组成一个环状闭合电路（如图1）。并且两焊接点的温度分别为 t_1 和 t_2 ，而 $t_1 \neq t_2$ 时，则在闭合电路内就有电动势产

生，其电动势 E_{AB} 为全部电位跃变之和：

$$E_{AB} = V_{AB} + V_{BA}$$

$$= V_B - V_A + \frac{Kt_1}{e} \ln \frac{n_{0A}}{n_{0B}} + V_A - V_B + \frac{Kt_2}{e} \ln \frac{n_{0B}}{n_{0A}},$$

$$E_{AB} = \frac{K}{e} (t_1 - t_2) \ln \frac{n_{0A}}{n_{0B}}.$$

由此式看出，当两种不同的金属焊接在一起，两接触点的温度 $t_1 \neq t_2$ 时，在闭合电路内就有温差电动势 E_{AB} 产生，及电动势之大小，与温度差 $t_1 - t_2$ 成正比。

今设 t_0 ， t 为金属 A 和金属 B 两焊接点的温度，则：

$$E_{AB}(t_0, t) = f(t) - f(t_0)$$

当焊接点 t_0 端之温度保持不变时，

$$E_{AB}(t_0, t) = f(t) - C = \varphi(t).$$

由方程 $E_{AB} = \varphi(t)$ 可得出下述结论：

1. 温差电动势是温度的函数。
2. 当 $\varphi(t) = 0$ 时，则无温差电动势产生，在差热曲线上表示为基线。
3. 当 $\varphi(t) = K$ ，且 $K > 0$ ，在差热曲线上表现为放热效应。

4. 当 $\varphi^{(t)} = K$, $K < 0$, 在差热曲线上表现为吸热效应。
5. 当 $\varphi^{(t)} = \infty$, 一般被解释为爆发式的热反应 (例如被加热物质的骤然氧化)。

依据上述原理, 将检流计接于这个闭合电路内 (如图 2), 当两焊接点温度 $t_1 \neq t_2$, 且 A、B 两金属环内存有温度梯度时, 闭合电路内即有电流流动、检流计便发生偏转。

为便于实验工作, 我们把金属环改变一下形状, 构成差热电偶形式, 如图 3:

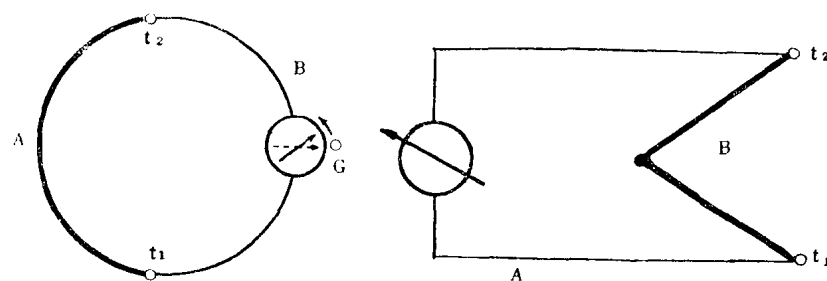


图 2

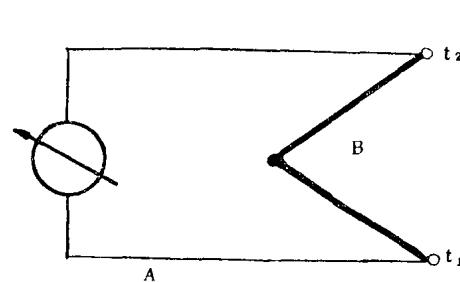


图 3

具体做法是这样: 构成差热电偶的材料为镍铬合金或铂铑合金, 较常用的为铂铑合金热电偶。取直径相同、长度相等的铂丝两根, 取直径与铂丝相等而长度适中的铂一铑合金丝一段, 在弧光焰上, 将铂一铑合金丝的两端分别焊接于两根铂丝上, 这样就制成了铂一铂铑差热电偶。如图 4 所示。

我们将一种在加热过程中, 其结构不产生分解、相变和破坏的物质称为中性体, 将中性体装在容器内, 置于差热电偶的一端; 而将等量的被测物质装于同一规格的容器内, 置于差热电偶另一端。再将这装有样品和中性体的差热电偶置于电炉内升温, 通过适当的工作机构, 就得出被测物质的差热曲线。

假设执行机构采用的是原始型检流计照像式。通过狭缝而得到

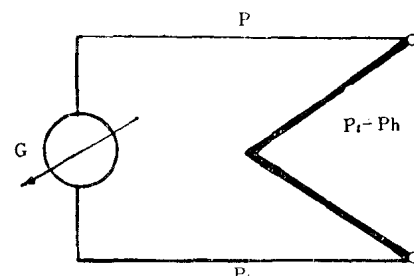


图 4

的点光源，射到检流计的小镜上，并由小镜反射到相纸上，而这相纸装于圆筒形照像盒内，在同步马达带动下每90分钟转一周，如图5所示。

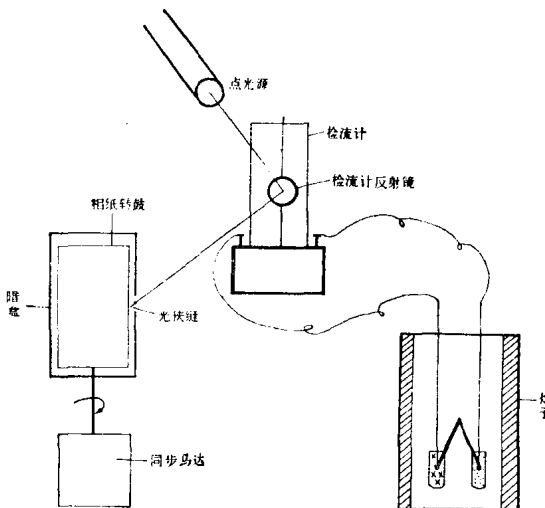


图 5

在实验过程中，基于以下四点原因将得到如下曲线：

1. 因同步马达带动相纸转鼓转动，实际上在整个实验中，就等于相纸在做等速移动；
2. 在电炉内，当被测物没有热反映时，则 T_1 和 T_2 两点温度相等，即 $T_1 = T_2$ ，金属环 A 和 B 同处于一个发热体中，没有温度梯度，因此在闭合电路内 $\varphi_{AB} = 0$ ，没有电动势存在，亦即没有电流流动。因而检流计不发生偏转。这样在相纸上光点的轨迹是个直线；
3. 如果被测物质排出吸附水、分解或结构破坏等，在电炉升温过程中，因被测物端吸热而降低温度；在中性体端没有分解、结构破坏和排出吸附水，不吸收热量，温度持续上升，这样在焊接点处， $T_1 \neq T_2$ 即 $\varphi_{AB} = K$ ， $K < 0$ ，在闭合电路内，就有电动势存在，亦即产生了电流，因此检流计小镜发生偏转。假设偏向左侧，随着吸附水排出过程的结束，而 T_1 逐渐趋近于 T_2 ，光点则向右偏转。当 $T_1 = T_2$ 光点回到原来基线上，这样就完成了一个吸热过

程，形成一个吸热谷，如图 6 所示：

4. 如果被测物质，在加热过程中，有氧化、相的转变或有新物质形成时，则在晶格内部放出能量，在被测物端温度升高，而中性体端没有能量放出，这样 $T_1 \neq T_2$ 即 $\varphi^{(1)} = K, K > 0$ ，在闭合电路内有电动势存在，因此产生了电流。使检流计的小镜向相反方向偏转。随着放热过程的结束，

而光点又回到原来的基线位

置，形成了一个热峰，如图

7 所示：

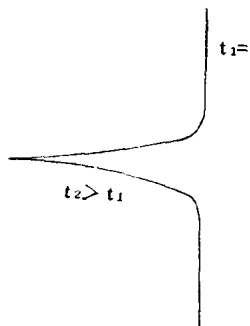


图 6

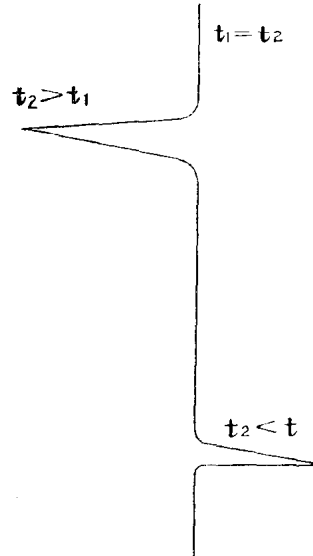


图 7

毛主席教导我们：“有比较才能鉴别。”^[1]从上所述，不难看出中性体在热分析过程中，就起着与被测物质的比较作用。毛主席又教导说：“事物发展的根本原因，不是在事物的外部而是在事物的内部，在于事物内部的矛盾性。”^[2]由于物质内部结构和构造的不同，各种物质在加热过程中吸热和放热的温度点也不相同，这样差热分析就被应用于区分和鉴别物质了。

上面谈到的是差热电偶，能显示物质在加热过程中的吸热和放热反应。但热反应的温度却无法表示，为了表明物质反应温度，还要制成一组热电偶。其制法是取长度适中，直径相等的铂丝及铂铑

[1] 《在中国共产党全国宣传工作会议上的讲话》《毛泽东选集》（1957年3月12日）

[2] 《矛盾论》《毛泽东选集》（1937年8月）

合金丝各一根，并将其任意的两端点焊接在一起，这样就制成了热电偶如图 8 所示。再将其接入高温计上，随炉温的升高其电动势也随之加大。这样即可用来标志和记录电炉加热的温度。因热电偶也安放于置有中性体的样品槽内，与差热电偶处于同一电炉内，所以高温计所指示的温度即等于被测物在炉内的温度。从而，被测物放热效应的温度可由高温计直接指示出来。

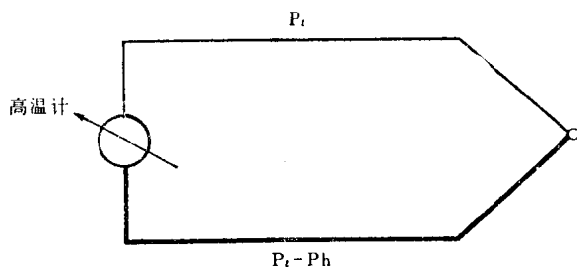


图 8

上述原始照相式的差热分析仪因自动化程度低，灵敏度差等原因，而逐渐被电子放大装置的自动记录式差热分析仪所代替。有的还附有热天秤装置，同时可测出被测物的失重曲线，用起来比较方便，结果可靠。但基本原理还是一样的。前者是把热电流通过灵敏度为 $10^{-9} A$ 的检流计，变成机械能，使检流计小镜偏转，而造成光点在照相纸上的移动，记录差热曲线；后者是通过电子放大器把微弱的热电压放大，最后通过伺服马达转化为机械能，带动记录笔，记录差热曲线。其结果基本一致。

二、差热分析的应用

自从根据差热分析原理制成差热分析仪以来，差热分析仪广泛地被应用于各生产部门和科研部门，作为一种独立方法或为其他方法的辅助手段，解决一些实际问题。因此，差热分析工作已成为一些工作部门不可缺少的实验手段。

应用差热分析研究矿物的原理：

矿物在加热过程中，矿物成分和晶体结构将发生变化，其主要变化有：

1. 失水：在一些矿物中，有的含有吸附水、有的含有沸石水(H_2O)，有的含有结构水(OH)，有的兼而有之。当矿物在被加热过程中，在不同的温度范围内，逐渐排出水，在较高的温度下，矿物失去结构水。随着矿物的不同，则失水温度也不一样。因此差热分析能用来鉴别含水的矿物。

2. 变价元素的氧化：某些矿物含有变价元素，在加热过程中，由低价元素变为高价元素而放出热量。变价元素不同，则氧化温度点也不一致。例如 Fe^{2+} 变成 Fe^{3+} 在340—450℃之间就伴随着放热效应发生。

3. 二氧化碳和二氧化硫的逸出：碳酸盐和硫酸盐矿物的化学成分中含有 CO_2 和 SO_2 ，在加热过程中，碳酸盐和硫酸盐在一定的温度范围内，失去 CO_2 和 SO_2 。例如 $CaCO_3 \xrightarrow{\text{加热}} CaO + CO_2 \uparrow$ 。不同的碳酸盐和硫酸盐失去 CO_2 和 SO_2 的温度点也不一样，因此差热分析法又可用来鉴定碳酸盐和硫酸盐。

4. 非晶质矿物的重结晶：有些矿物在自然界中由于外界条件与其生成条件的差异，这样就由晶态变为非晶态(也称非晶化)，如铌、钽酸盐等。而在加热过程中，这些矿物再由非晶态放出能量变为结晶态，通称为重结晶。也有的矿物在加热过程中失去结构水，晶格破坏而变成非晶态，例如高岭石在550—650℃之间，晶格受到破坏而变成非晶态；而在加热到950—1050℃之间，又重新结晶。所有这些矿物，由于结晶构造的不同，而重结晶的温度点也有很大差异。因此，这个温度差可用来鉴别非晶化的矿物。

5. 矿物的相变：有的矿物具有同质多相的变化，在加热过程中，可由一个晶系转化为另一个晶系。因此，可用差热分析配合X一射线及晶体光学方法来研究矿物的多相变化，用于鉴定矿物。

差热分析法在地质部门成为鉴定矿物不可缺少的手段之一。尤其是对鉴定下列矿物有它的独到之处。

1. 粘土矿物：粘土矿物颗粒微细，利用光学显微镜观察，很难辨认，且粘土矿物化学成分相近，用化学分析方法也难以区分；又因粘土矿物在晶格构造上都很相近，这样就使晶体X一射线粉晶照相面纲间距相近似，线条强度弥散而微弱，此外，有的成非晶质状态存在。由于这些原因，多用差热分析来研究这类矿物。因为各种粘土矿物的热效应点的温度不同，所以能很好地将各种粘土矿物

加以区分。

粘土矿物也有用染色法来鉴别的，但手续繁杂，可靠性较差。电子显微镜对鉴定粘土矿物效果较好，但仪器较贵重，一般单位尚无此设备，故差热分析法应用较为普遍。

2. 碳酸盐类矿物：碳酸盐类矿物在显微镜下因重曲折率高，光性相同以及折光率不好判断等原因，所以不易区分。但在热分析曲线上不同矿物逸出CO₂的温度不同，用热分析法鉴定碳酸盐也有它独到之处。

3. 绿泥石类、蛇纹石类、硼酸盐类以及其他类矿物：用差热分析法也是较好的方法之一。

除地质部门外，差热分析还广泛地被应用于冶金、化学、农业、陶瓷、建材工业部门和化工等部门。

三、矿物差热分析的定量

(一) 概述

用差热分析来测定混合物中各物质含量的工作开展的较晚，大约从1935年才开始。由于差热分析定量法对某些物质的混合物有它独到之处，非化学分析和其他方法所能及，所以国内外有关这方面的研究工作较多，并在一些方面取得了比较显著的成效。

当前，在文献中推荐了很多定量方法，其形式虽然不同，但大部都是基于精确地求出矿物在差热曲线上峰（或谷）所扫过的面积，用此面积以不同的方式确定出矿物在混合物中的含量。我们在这里介绍的方法也侧重这一方面。

(二) 定量原理

差热分析定量的原理可从热力学方程式中导出。假设单一样品，在加热过程中有热效应发生，则样品变化的温度差可表示为下式：

$$\Delta Q = \frac{m \cdot \Delta H}{m_s \cdot C_s} \quad (1)$$

ΔQ：样品变化的温度差

m: 反应样品的重量

m_s : 样品的总重量

C_s : 样品的平均比热。

计算上式时需以镍制样品台孔洞中心的温度为准。对于样品：任意两点“ a ”和“ c ”之间的热变化（这里把“ c ”当作 x ），可以组成下列简单方程式：

$$m \underbrace{\int_a^x \frac{dH}{dt} dt}_{(A)} + g K_s \underbrace{\int_a^x (T_w - T_s) dt}_{(B)} = m_s C_s (T_s T_0) \quad (2)$$

对于中性体：

$$gK_r \int_a^x (T_w - T_r) dt = m_r C_r (T_r - T_0) \quad (3)$$

t : 时间 m : 反应样品的重量 m_s : 样品的总重量 dH : 在 dt 时间内, 样品的热变化 g : 镍制样品台的几何体积 K_s : 样品的热传导率 K_0 : 中性体的热传导率 T_w : 在 $t=x$ 时镍样品台的温度 T_s : 在 $t=x$ 时样品中心的温度 T_r : 在 $t=x$ 时中性体中心的温度 T_0 : 在 $t=a$ 时样品或中性体中心的温度 C_s : 在 $t=a$ 和 $t=x$ 之间样品的平均比热 C_r : 在 $t=a$ 和 $t=x$ 之间中性体的平均比热。

方程式(2)中的(A)式说明热效应是由样品引起的。在进行热反应时, $\frac{dH}{dt}$ 为正, 表明热效应为放热反应; 当 $\frac{dH}{dt}$ 为负时为吸热效应。

方程式(2)中的(B)式表明样品吸收的热量。

(A) + (B) = (C) 说明在任意时间内“ x ”总是与差热曲线相一致的，用于升高样品温度的总热量等于由样品块传导出的热量，或者说减去样品块的反应热。

方程式(3)中(A)是不存在的,这样方程式(B)导出的热量必须等于用来升高中性体温度的热量(C')。

即 $C_r = C_s + \delta C$

$$K_r = K_s + \delta K$$

由实验得知, $m_s = m_r$, 将(3)式减去(2)式则得:

$$m \int_a^x \frac{dH}{dt} dt - gK_s \int_a^x (T_r - T_s) dt - g\delta K \int_a^x (T_w - T_r) dt = \\ m \left[C_s(T_s - T_r) - \delta C(T_r - T_o) \right] \quad (4)$$

令 $T_r - T_s = y$, 其温度表现在差热电偶上。含有 δC 或 δK 项的 $(T_w - T_r)$ 值是比较小的, 方程式 (4) 可以简化成下式, 并用 “ a ” 和 “ c ” 作积分限:

$$m = \int_a^c \frac{dH}{dt} dt - gK_s \int_a^c y dt = m_s C_s (T_s - T_r) \text{(在“}c\text{”处)} \quad (5)$$

在多数情况下:

$$(T_s - T_r) = 0 \text{(在“}c\text{”处)} \quad (6)$$

因此, 反应热近似于:

$$m \int_a^c \frac{dH}{dt} dt = m \cdot \Delta H \text{ 和 } \Delta H = \frac{gK_s}{m} \int_a^c y dt \quad (7)$$

从方程式 (5) 中可以看出, 物质的热反应 ΔH 与反应物质的量 m 成正比。也就是说, 差热曲线上峰(或谷)所扫过的面积与反应物质的含量成正比, 根据这个原理, 用差热分析来确定混合物的含量。

(三) 定量分析方法

1. 图表法: 方法的原理是在实验条件相同的情况下, 差热曲线上热反应所形成的面积与反应物质的量成正比。即:

$$\Delta S = Km$$

ΔS : 热反应所形成的面积

m : 反应物质的数量

K : 比例系数。

比例系数 K 不是固定的(即不是直线的斜率), 它取决于实验条件及反应物质的性质。

具体作法:

1) 配制一系列人工混合物, 如在中性体中掺有 5%、10%、15%、20%……100% 纯一的预先测定矿物的标准样品。